

# 盐介质固相反应法制备纳米铁酸镧及其气敏性能

蒋东丽<sup>1</sup>, 储向峰<sup>2</sup>

(1. 桂林医学院, 广西 桂林 541004)

(2. 中山大学, 广东 广州 510275)

**摘要:** 以  $\text{La}_2\text{O}_3$  和  $\text{FeCl}_3 \cdot 6\text{H}_2\text{O}$  为主要原料, 利用盐介质固相反应法制备了  $\text{LaFeO}_3$  纳米晶。用 XRD、TEM 分别对不同反应温度下的产品进行了物相和形貌表征, 并研究了其对三乙胺、乙醇、汽油、苯和丙酮等的敏感性能。结果表明: 反应温度为 800 ℃时, 产物为均相  $\text{LaFeO}_3$ , 粒度较均匀, 平均粒径约为 40 nm; 将样品制成烧结型气敏元件, 对三乙胺有较高的灵敏度和选择性, 工作温度为 250 ℃时对 25  $\mu\text{g}/\text{g}$  三乙胺的灵敏度仍达 7.9, 响应、恢复时间分别仅需 6 和 13 s。

**关键词:** 铁酸镧; 盐介质固相反应法; 三乙胺; 气敏性能

中图法分类号: TB34

文献标识码: A

文章编号: 1002-185X(2009)10-1848-04

近年来, 挥发性有机化合物 (VOCs) 在工农业生产及日常生活中的用途越来越广泛。常见的溶剂如芳香烃、醇类、醛类、酯类和胺类均属 VOCs 范畴, 其中多数 VOCs 有毒、有恶臭, 甚至有致癌性, 对人体和环境的危害极大。目前, 世界各国都通过立法不断限制 VOCs 的排放量, 而研发更为有效的治理 VOCs 的新技术和开发更为方便准确的监测 VOCs 含量的敏感材料成为当务之急。

在众多敏感材料中, 钙钛矿型复合氧化物铁酸镧 ( $\text{LaFeO}_3$ ) 因灵敏度高、选择性好、操作时可逆变化性强等而占有重要地位。研究发现, 纳米  $\text{LaFeO}_3$  是一种非常有效的化学传感器材料, 可用于监测湿度<sup>[1]</sup>、乙醇度<sup>[2]</sup>及丙酮<sup>[3]</sup>、 $\text{NO}^{[4]}$ 、 $\text{NO}_2^{[5]}$ 、 $\text{CO}^{[6]}$ 等气体。目前, 纳米  $\text{LaFeO}_3$  的制备方法主要有溶胶-凝胶法<sup>[7]</sup>、共沉淀法<sup>[8]</sup>、氰化物热分解法<sup>[6]</sup>、水热法<sup>[9]</sup>等。

本实验采用盐介质固相反应法<sup>[10]</sup>制备了  $\text{LaFeO}_3$  纳米粉体, 研究了反应条件对产物的物相及形貌影响, 并研究  $\text{LaFeO}_3$  纳米粉体对几种 VOCs 的敏感性能。

## 1 实验

准确称取一定量的  $\text{La}_2\text{O}_3$  (A.R.)、 $\text{FeCl}_3 \cdot 6\text{H}_2\text{O}$  (A.R.) 及  $\text{NaCl}$  固体, 并量取一定量的表面活性剂 NP-5 (四者摩尔比依次为 0.5:1:20:3), 放于玛瑙研钵中混合研磨 20 min, 再超声 15 min。将混合物转入瓷坩埚中, 放入马弗炉中以 4 ℃/min 的升温速率升温, 于设定温度 (500, 600, 700, 800 ℃) 煅烧 240 min, 然后使

样品随炉体冷至室温, 收集煅烧后样品, 用蒸馏水洗涤数次, 最后用无水乙醇洗涤一次, 再放入烘箱中 80 ℃烘干即得样品。

利用日本 Rigaku 公司生产的 D/max 2200 型粉末 X 射线衍射仪 (X-Ray Diffractometer) (Cu 靶  $\text{K}\alpha$  ( $\lambda=0.154 \text{ nm}$ ), 管压 40 kV, 管流 30 mA) 对所制样品进行测试, 确定所制样品的物相和晶粒大小。在 FEI-Tecnai 12 分析型透射电子显微镜 (TEM) 下观测所制样品的形貌、分散情况和粒度分布情况。

取少量 800 ℃煅烧获得的平均粒径约 40 nm 的  $\text{LaFeO}_3$  样品, 向其中加入适量的 PVA 研磨、调浆, 形成糊状物, 将其涂在带有 4 个铂金丝的陶瓷管的表面, 于 500 ℃烧结 1 h, 将铂金丝焊接在基座上制成旁热式厚膜型气敏元件, 气敏元件的结构见图 1<sup>[11]</sup>。

气敏元件的测试采用静态配气法, 将加在元件上的电压变化, 换算为气敏元件在空气中和在气氛中的电阻变化。灵敏度  $S$  定义为气敏元件在气氛中的电阻  $R_g$  与在空气中的电阻  $R_a$  的比值:  $S=R_g/R_a$ 。

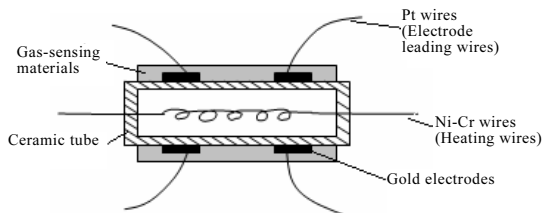


图 1 气敏元件结构示意图

Fig.1 Structure of gas sensor

## 2 结果与讨论

### 2.1 材料的物相及形貌分析

图2是不同温度下混合物煅烧240 min所得产物的XRD图谱。通过将图中谱线与标准卡JCPDS比较,可发现当烧结温度为500至800 °C时,均能制得钙钛矿型LaFeO<sub>3</sub>,但500 °C时有杂峰出现,说明产物不纯,而烧结温度从600到800 °C时,XRD谱中无杂峰,即制得的产物均为纯相。

另外,由XRD图谱可发现,烧结温度从500到800 °C,LaFeO<sub>3</sub>纳米晶体X射线衍射峰强度逐渐变大,这说明LaFeO<sub>3</sub>粒子随烧结温度上升晶化越来越完全。由XRD半高宽法,根据Scherrer公式可计算颗粒的粒径:

$$D=K\lambda/\beta\cdot\cos\theta$$

其中,D为晶粒尺寸。K为校正系数,对于本实验所用仪器,K=0.9。 $\lambda=0.154\text{ }056\text{ nm}$ 。 $\beta$ 为X射线衍射峰半高宽, $\theta$ 为衍射峰对应的角度。取各样品的XRD谱中(121)面,即 $2\theta=32.3^\circ$ 的半高宽计算颗粒的平均粒径,所得结果如表1。由表1可见,烧结温度为600和700 °C时LaFeO<sub>3</sub>的平均粒径变化不大,温度高于700 °C时,粒径增长速度加快。

比较各温度下所获样品的TEM照片,烧结温度为600和700 °C时的LaFeO<sub>3</sub>纳米晶形貌不规则,且粒度分布不均匀,而800 °C煅烧240 min所获的LaFeO<sub>3</sub>(如图3所示)纳米晶基本为球形粒子,且粒径分布

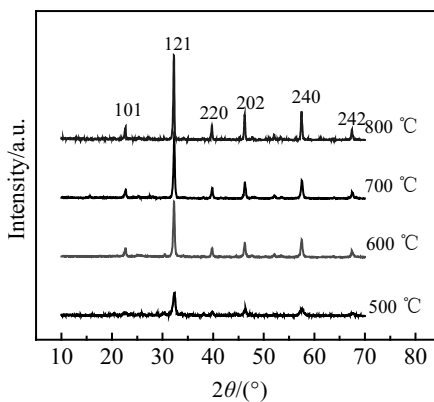


图2 不同煅烧温度下制备LaFeO<sub>3</sub>的XRD图谱

Fig.2 XRD patterns of LaFeO<sub>3</sub> nanocrystalline prepared at different calcined temperatures

表1 不同烧结温度下LaFeO<sub>3</sub>的平均粒径

Table 1 The average particle size of LaFeO<sub>3</sub> nanocrystalline prepared at different calcined temperatures

Calcined temperature/°C	600	700	800
Size/nm	25	26	36

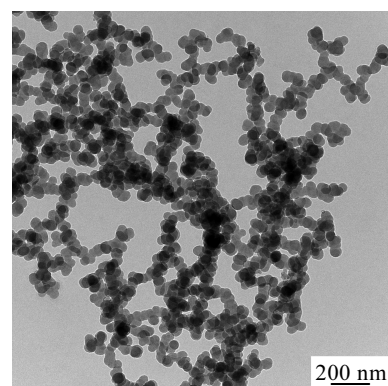


图3 煅烧温度为800 °C时所获LaFeO<sub>3</sub>纳米晶透射电镜照片

Fig.3 TEM image of LaFeO<sub>3</sub> nanocrystalline prepared at 800 °C

比较均匀。由此测得样品的平均粒径约为40 nm,与XRD得到的结果相符。

### 2.2 材料的气敏性能研究

取在800 °C,煅烧240 min条件下所获得的样品进行测试。分别研究了样品对三乙胺、乙醇、汽油、苯和丙酮等5种常见的VOCs的敏感性能,结果如图4所示。由图4可见,250 °C时,它对500 μg/g乙醇的灵敏度达到了59.5,而对汽油不敏感,可见该材料可用于制作高选择性的酒敏传感器。由图4还可以发现,该材料对三乙胺非常敏感,250 °C时对500 μg/g三乙胺的灵敏度高达95.3,对丙酮和苯有一定的敏感性,275 °C时对500 μg/g丙酮的灵敏度为42.2,250 °C时对500 μg/g苯的灵敏度为26.3。可见,它是一种具有很好选择性和高灵敏度的三乙胺敏感材料。同时,在不同环境下,该材料也可进一步开发成检测丙酮和苯这两种VOCs的敏感材料。

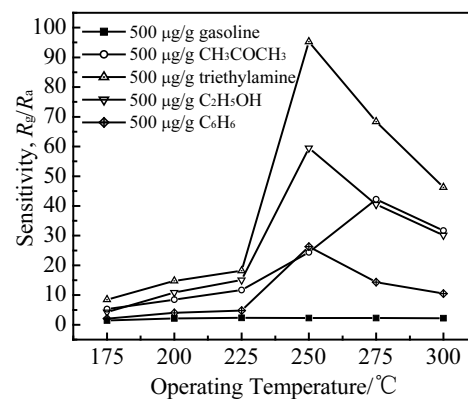


图4 煅烧温度为800 °C时所获LaFeO<sub>3</sub>纳米晶对不同气体的敏感性能

Fig.4 LaFeO<sub>3</sub> nanocrystalline sensitivities to various gases (LaFeO<sub>3</sub> obtained at 800 °C for 240 min)

图 5 显示了在 250 °C 下, LaFeO<sub>3</sub> 纳米晶对不同浓度的三乙胺的敏感性能。很明显, 元件对三乙胺很敏感, 即使三乙胺浓度低至 25 μg/g, 其灵敏度仍有 7.9。同时发现当三乙胺浓度低于 100 μg/g 时, 随着三乙胺浓度的增加, 元件吸附的三乙胺分子越多, 灵敏度呈线性增加, 当三乙胺浓度大于 100 μg/g 时, 灵敏度随三乙胺浓度的增大而增加得缓慢。原因是当温度一定时, 材料表面对三乙胺气体的吸附相应有一平衡浓度, 当三乙胺气体浓度增大时, 元件表面大部分位置都已吸附了三乙胺分子, 使三乙胺分子被表面吸附的位置和几率越来越小, 从而使输出电压的减小变慢, 直至达到吸附与解吸速度相等而平衡。

图 6 表示在 250 °C 时, 由 LaFeO<sub>3</sub> 纳米晶制成的元件对 25 μg/g 三乙胺的响应过程。由图可以看到, 该材

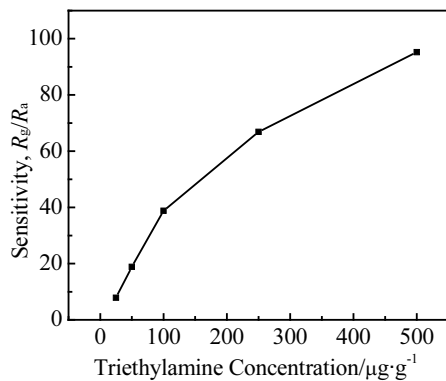


图 5 煅烧温度为 800 °C 时所获 LaFeO<sub>3</sub> 纳米晶对不同浓度三乙胺的敏感性能

Fig.5 Correlation between triethylamine concentration and sensitivity of LaFeO<sub>3</sub> nanocrystalline  
(800 °C, 240 min)

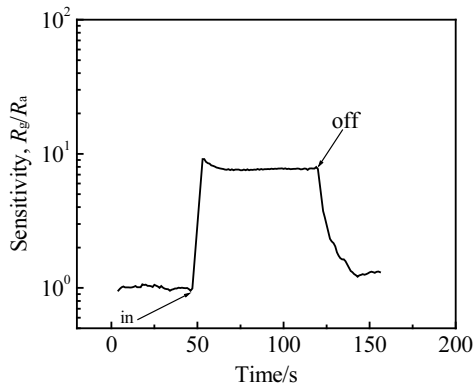


图 6 煅烧温度为 800 °C 时所获 LaFeO<sub>3</sub> 纳米晶对 25 μg/g 三乙胺的响应曲线

Fig.6 Response transients of LaFeO<sub>3</sub> nanocrystalline (800 °C, 240 min) to 25 μg/g triethylamine gas at 250 °C

料显示出 P 型半导体气敏材料的特性。元件对 25 μg/g 三乙胺响应时间和恢复时间均较短, 分别仅需 6 和 13 s。

### 3 结 论

1) 以 La<sub>2</sub>O<sub>3</sub> 和 FeCl<sub>3</sub>·6H<sub>2</sub>O 为源物质, 利用盐介质固相反应法可以制备出 LaFeO<sub>3</sub> 纳米粉体。

2) 反应温度在 600 °C 以上均能获得纯相 LaFeO<sub>3</sub>, 且反应温度为 800 °C 时, 能获得粒度较均匀, 平均粒径约为 40 nm, 分散性很好的球形 LaFeO<sub>3</sub> 粒子。

3) 以该材料为基体的气敏元件对乙醇有较高的灵敏度和较好的选择性, 可用于制作高选择性的酒敏传感器。

4) 该材料对低浓度 VOCs 气体三乙胺有较高的灵敏度和选择性, 工作温度为 250 °C, 对 25 μg/g 三乙胺的灵敏度仍达 7.9, 且响应-恢复时间短, 有较高的工业应用价值。

### 参考文献 References

- [1] Wang Jin(王兢), Wu Fengqing(吴风清), Liu Guofan(刘国范) et al. *Journal of Functional Materials*(功能材料)[J], 1997, 28(2): 165
- [2] Zhao Shanqi, Sin Johnny K O, Xu Baokun et al. *Sensors and Actuators B*[J], 2000, 64(1~3): 83
- [3] Liu Xiaochuan, Ji Huiming, Gu Yanfei et al. *Materials Science and Engineering B*[J], 2006, 133(1~3): 98
- [4] Toan N N, Saukko S, Lantto V. *Physica B*[J], 2003, 327(2~4): 279
- [5] Traversa Enrico, Sadaoka Yoshihiko, Carotta Maria Cristina et al. *Sensors and Actuators B*[J], 2000, 65(1~3): 181
- [6] Carotta Maria Cristina, Butturi Maria Angela, Martinelli Giuliano et al. *Sensors and Actuators B*[J], 1997, 44(1~3): 590
- [7] Rajendran M, Bhattacharya A K. *Journal of the European Ceramic Society*[J], 2006, 26(16): 3675
- [8] Chu Xiangfeng, Pietro Siciliano. *Sensors and Actuators B*[J], 2003, 94(2): 197
- [9] Zheng Wenjun, Liu Ronghou, Peng Dingkun et al. *Materials Letters*[J], 2000, 43(1~2): 19
- [10] Mao Yuanbing, Banerjee Sarbjit, Wong Stanislaus S. *J Am Chem Soc*[J], 2003, 125(51): 15718
- [11] Niu Xinshu(牛新书), Du Weimin(杜卫民), Du Weiping(杜卫平) et al. *Rare Metal Materials and Engineering*(稀有金属材料与工程)[J], 2005, 34(1): 124

## Gas-Sensing Properties of Nano-LaFeO<sub>3</sub> Prepared by a Simple Molten-Salt Method

Jiang Dongli<sup>1</sup>, Chu Xiangfeng<sup>2</sup>

(1. Guilin Medical University, Guilin 541004, China)

(2. Sun Yat-sen University, Guangzhou 510275, China)

**Abstract:** Nanocrystalline LaFeO<sub>3</sub> was prepared by a simple molten-salt method with La<sub>2</sub>O<sub>3</sub> and FeCl<sub>3</sub>·6H<sub>2</sub>O as main starting materials. The nanocrystalline samples were characterized by X-ray diffraction (XRD) and transmission electron microscopy (TEM) for the phases and morphology. Their gas-sensing properties to triethylamine, C<sub>2</sub>H<sub>5</sub>OH, gasoline, C<sub>6</sub>H<sub>6</sub> and CH<sub>3</sub>COCH<sub>3</sub> were investigated. The results demonstrated that pure LaFeO<sub>3</sub> nanocrystalline with uniform grain sizes and an average diameter of about 40 nm was formed when calcined at 800 °C. Moreover, the gas sensor made of the nanocrystalline LaFeO<sub>3</sub> sample showed high sensitivity as well as good selectivity to dilute triethylamine. The LaFeO<sub>3</sub> sensor showed the sensitivity as high as 7.9 to even 25 µg/g triethylamine at 250 °C, and the response and recovery time are 6 and 13 s, respectively.

**Key words:** LaFeO<sub>3</sub>; molten-salt method; triethylamine; gas-sensing properties

---

Biography: Jiang Dongli, Master, Lecturer, Pharmacy College, Guilin Medical University, Guilin 541004, P. R. China, Tel: 0086-773-3331086, E-mail: auqfai@glmc.edu.cn